

### III-10 三軸圧縮試験試料中に生ずる円錐くさび

都立大工学部 正会員 小林慶夫

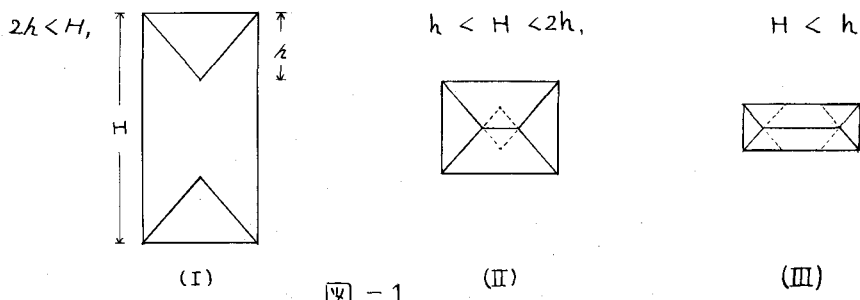
#### 1. まえがき

三軸圧縮試験の供試体載荷板にシリコニクリスを塗ったゴム膜を貼り、端面拘束を取り除くと、砂のような粒状体は一様に変形し、間隙比を増したところで最大の耐力を發揮する。せん断現象を間隙比の増大による最大主応力方向に垂直な面の劣化として捉えることも可能ではないかと思う。

しかし、端面拘束がある場合には、端面附近の砂中に力学的に特別な領域が形成されると予想される。この領域の存在が、全体としての供試体の耐力にどのように影響を及ぼすかを各種の高さの供試体について、この領域の形を円錐くさびと仮定することにより調べた。

#### 2. モデルの設定

最密の規則配列をした球に、二方向の主応力を一定に保つと、残りの一方の主応力を増大し、規則配列が保たれたまま保つれてゆくとき、その間隙比は増大する。今、粒径の比較的よくとる正砂に、この考え方を適用して、その砂の間隙比に応じた高さの円錐くさびが載荷面上に発生すると考える。供試体の高さを  $H$  とし下記、次の三つの状態が予想される。



#### 3. 実験方法

側圧一定の排水三軸圧縮試験を行い、圧縮速度は、 $0.1 \text{ mm}/\text{分}$ とした。試料は瀝青砂を用い、供試体成形にあたっては、各 $2 \text{ cm}$ の厚さごとに細棒で突き、さらに $\phi 2.5 \text{ cm}$ の頭の平坦な鉄棒で締めた。試料載荷板には、ポーラスストーン ( $\phi 5.08 \text{ cm}$ ) を用いた。また、端面拘束のない場合は、シリコニクリスを塗った二枚のゴム膜(厚さ $0.25 \text{ mm}$ )をよくみがいた鉄板に貼りつけた載荷板を用いた。

#### 4. 実験結果

初期試料高さと載荷面に働く最大の力(単位面積あたり)との関係を図-3に示す。図中、初期試料高 $2.95 \text{ cm}$ と $5.9 \text{ cm}$ のところにひがめた線は、「2. モデルの設定」のところで述べた、球モデルにおける  $e = 0.60$  としたときのくさび高さとの2倍の高さである。

特に、 $\bar{\sigma}_3 = [0.5]^{1/3} / \text{cm}^2$  のときの高さ方向変位量と載荷面に働く最大の力(単位面積あたり)との関係を図-4に示す。

また、表-1に、 $\bar{\sigma}_3 = [0.5]^{1/3} / \text{cm}^2$  の場合について、体積変化と軸方向変位をまとめた、最大の主応力を

発生するときの、供試体の中心を通る載荷方向に垂直な面の面積と初期の面積との比を示す。ここで拘束端の場合、図-1の(Ⅰ)、(Ⅱ)のとおり、供試体のふくろみ方が、図-2のように、載荷面端より離して、直線的に中央に至るような変形をするとした。(Ⅲ)は一様にふくろんだとしておいた。

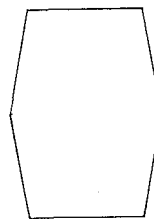


図-2

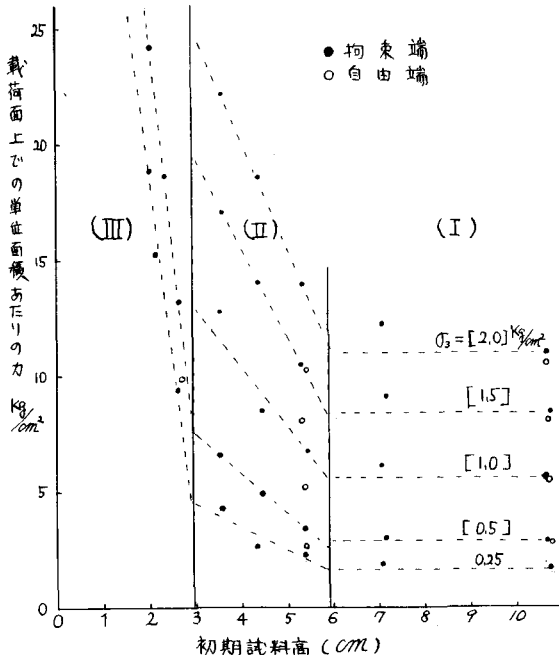


図-3

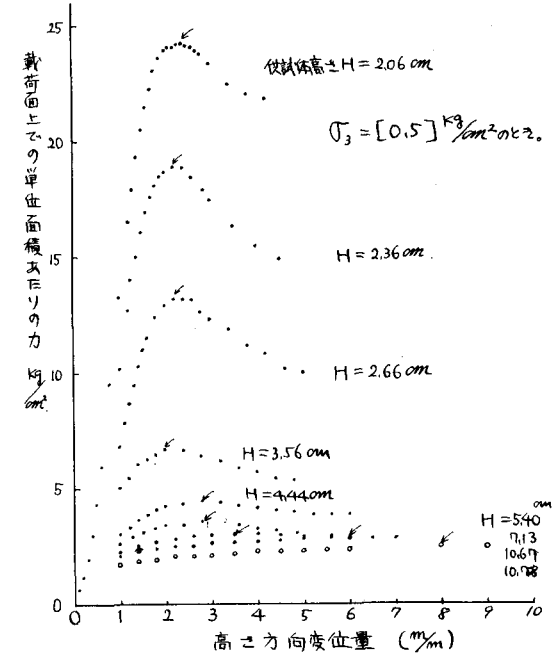


図-4

### 5. 結果

- i) 図-3より、力学的ひずみが3%、端面に垂直な面積が減少することを確認できる。
- ii) 図-3より、図-1の(Ⅱ)、(Ⅲ)の場合の耐力の増加が、試料高と一次の関係にあるという結果を得られた。

iii) 自由端の場合には、供試体が短くなると

わずかに強度が下るようである。

iv) 図-4から、特に、図-1の(Ⅲ)の場合、供試体内に耐力を発生する構造が生じていることを予想させた。

v) 表-1から、自由端の場合にくらべて拘束端の場合の方が、供試体中にての面積がやや大きいという結果になっている。

拘束端 供試体高さ(cm)	自由端 供試体高さ(cm)	
	面積増加比	面積増加比
10.67	1.16	10.78
7.13	1.11	5.40
5.40	1.11	1.09
4.44	1.14	
3.56	1.20	
2.66	1.12	
2.36	1.13	
2.06	1.15	

表-1